

К вопросу о зависимости ширин распадов $\tau \rightarrow [\rho^0(770), \rho^0(1450)]\pi^- \nu_\tau$ от параметров промежуточного a_1 -мезона

М. К. Волков¹⁾, А. А. Пивоваров*Лаборатория теоретической физики им. Боголюбова, Объединенный институт ядерных исследований,
141980 Дубна, Россия*

Поступила в редакцию 5 декабря 2018 г.

После переработки 5 декабря 2018 г.

Принята к публикации 14 декабря 2018 г.

Ширин распадов $\tau \rightarrow [\rho^0(770), \rho^0(1450)]\pi^- \nu_\tau$ вычислены в расширенной модели Намбу–Иона–Лазинио. В качестве промежуточных рассмотрены как основные, так и первые радиально-возбужденные состояния мезонов. Доминирующим здесь является аксиально-векторный канал с промежуточными a_1 -мезонами. В работе учтены недавно полученные в коллаборациях COMPASS и JРАС значения масс и полных ширин a_1 -мезона.

DOI: 10.1134/S0370274X19040027

1. Введение. В последние годы проводятся интенсивные исследования процессов, в которых участвуют аксиально-векторные мезоны $a_1(1260)$ и $a_1(1640)$. При этом в настоящее время существует некоторое разногласие в определении таких основных параметров мезона $a_1(1260)$, как масса и полная ширина. А именно, в работе коллаборации COMPASS были получены следующие значения $M_{a_1(1260)} = 1299^{+12}_{-28}$ МэВ, $\Gamma_{a_1(1260)} = 380 \pm 80$ МэВ

[1]. В то же время в коллаборации JРАС с использованием данных ALEPH получены несколько иные значения этих параметров $M_{a_1(1260)} = 1209 \pm 4^{+12}_{-9}$ МэВ, $\Gamma_{a_1(1260)} = 576 \pm 11^{+80}_{-20}$ МэВ [2].

В распадах $\tau \rightarrow [\rho^0(770), \rho^0(1450)]\pi^- \nu_\tau$ доминирующим каналом, определяющим величину ширин этого распада, является аксиально-векторный канал, где основной вклад дает промежуточный мезон $a_1(1260)$. К сожалению, в настоящее время не существует хорошо измеренных экспериментально ширин этих распадов. Поскольку в настоящее время идут интенсивные исследования параметров мезона $a_1(1260)$, можно надеяться, что ширина указанного здесь процесса $\tau \rightarrow \rho^0(770)\pi^- \nu_\tau$ будет скоро измерена. Поэтому нам кажется полезным дать в этой работе предсказание для ширин данного процесса при двух различных вариантах параметров

мезона $a_1(1260)$, полученных как в коллаборации COMPASS, так и в коллаборации JРАС. При этом будет использована расширенная модель Намбу–Иона–Лазинио (НИЛ), которая дала хорошие результаты при описании многих распадов τ -лептона [3–8].

2. Лагранжиан расширенной модели НИЛ. В расширенной модели НИЛ фрагмент кварк-мезонного лагранжиана взаимодействия для мезонов ρ , a_1 и π имеет вид [5, 8, 9]:

$$\begin{aligned} \Delta L_{\text{int}} = \bar{q} & \left[i\gamma^5 \sum_{j=\pm} \lambda_j^\pi (A_\pi \pi^j + B_\pi \pi'^j) + \right. \\ & + \frac{1}{2} \gamma^\mu \sum_{j=\pm,0} \lambda_j^\rho (A_\rho \rho_\mu^j + B_\rho \rho'_\mu^j) + \\ & \left. + \frac{1}{2} \gamma^\mu \gamma^5 \sum_{j=\pm} \lambda_j^{\rho'} (A_{a_1} a_{1\mu}^j + B_{a_1} a'_{1\mu}{}^j) \right] q, \end{aligned} \quad (1)$$

где q и \bar{q} – поля u- и d-кварков с массами $m_u = m_d = m = 280$ МэВ, штрихом обозначены возбужденные состояния мезонов,

$$\begin{aligned} A_M &= \frac{1}{\sin(2\theta_M^0)} \times \\ & \times \left[g_M \sin(\theta_M + \theta_M^0) + g'_M f(\mathbf{k}^2) \sin(\theta_M - \theta_M^0) \right], \\ B_M &= \frac{-1}{\sin(2\theta_M^0)} \times \\ & \times \left[g_M \cos(\theta_M + \theta_M^0) + g'_M f(\mathbf{k}^2) \cos(\theta_M - \theta_M^0) \right], \end{aligned} \quad (2)$$

где индексом M обозначен π -, ρ - или a_1 -мезон.

¹⁾e-mail: volkov@theor.jinr.ru; tex_k@mail.ru

Функция $f(\mathbf{k}^2) = 1 + d\mathbf{k}^2$ – формфактор, вводимый для описания первых радиально-возбужденных состояний, $d = -1.784 \cdot 10^{-6}$ МэВ – параметр наклона. Этот параметр фиксируется исходя из требования, чтобы введение возбужденных состояний не меняло значения кваркового конденсата, и тем самым – масс составляющих кварков [3, 4]. Аргументом формфактора является поперечный относительный импульс внутренней кварк-антикварковой пары:

$$k_{\perp} = k - \frac{(kp)p}{p^2}, \quad (3)$$

где p – импульс мезона. В системе покоя мезона $k_{\perp} = (0, \mathbf{k})$.

Параметр θ_M – угол смешивания, фиксируемый после диагонализации свободного лагранжиана, содержащего как основные, так и первые радиально-возбужденные состояния мезонов [4]:

$$\theta_{\rho} \approx \theta_{a_1} = 81.8^{\circ}, \quad \theta_{\pi} = 59.48^{\circ}, \quad (4)$$

θ_M^0 – вспомогательная величина, вводимая для удобства записи:

$$\begin{aligned} \sin \theta_M^0 &= \sqrt{\frac{1 + R_M}{2}}, \\ R_{\rho} = R_{a_1} &= \frac{I_2^f}{\sqrt{I_2 I_2^{f^2}}}, \\ R_{\pi} &= \frac{I_2^f}{\sqrt{Z_{\pi} I_2 I_2^{f^2}}}. \end{aligned} \quad (5)$$

Здесь в качестве I_2 обозначены расходящиеся интегралы вида

$$I_2^{f^n} = -i \frac{N_c}{(2\pi)^4} \int \frac{f^n(\mathbf{k}^2)}{(m^2 - k^2)^2} \theta(\Lambda_3^2 - \mathbf{k}^2) d^4 k, \quad (6)$$

$\Lambda_3 = 1.03$ ГэВ – параметр обрезания при интегрировании по трехмерному импульсу.

Z_{π} – множитель, соответствующий дополнительной перенормировки, возникающей при учете π - a_1 переходов:

$$Z_{\pi} = \left(1 - 6 \frac{m^2}{M_{a_1}^2}\right)^{-1}, \quad (7)$$

где M_{a_1} – масса аксиально-векторного мезона в основном состоянии.

Таким образом, θ_M^0 выражается через известные величины и не является модельным параметром:

$$\theta_{\rho}^0 = \theta_{a_1}^0 = 61.5^{\circ}, \quad \theta_{\pi}^0 = 59.12^{\circ}. \quad (8)$$

Матрицы λ имеют вид:

$$\begin{aligned} \lambda_{+}^{\rho} = \lambda_{+}^{\pi} &= \sqrt{2} \begin{pmatrix} 0 & 1 \\ 0 & 0 \end{pmatrix}, \\ \lambda_{-}^{\rho} = \lambda_{-}^{\pi} &= \sqrt{2} \begin{pmatrix} 0 & 0 \\ 1 & 0 \end{pmatrix}, \\ \lambda_0^{\rho} &= \begin{pmatrix} 1 & 0 \\ 0 & 1 \end{pmatrix}. \end{aligned} \quad (9)$$

Константы взаимодействия:

$$\begin{aligned} g_{\rho} = g_{a_1} &= \left(\frac{2}{3} I_2\right)^{-1/2}, \quad g_{\pi} = \left(\frac{4}{Z_{\pi}} I_2\right)^{-1/2}, \\ g'_{\rho} = g'_{a_1} &= \left(\frac{2}{3} I_2^{f^2}\right)^{-1/2}, \quad g'_{\pi} = \left(4 I_2^{f^2}\right)^{-1/2}. \end{aligned} \quad (10)$$

3. Амплитуда распада $\tau \rightarrow \rho^0(770)\pi^{-}\nu_{\tau}$ в расширенной модели НИЛ. Диаграммы для процесса $\tau \rightarrow \rho^0(770)\pi^{-}\nu_{\tau}$ изображены на рис. 1, 2. Петли на указанных диаграммах образованы кварковыми линиями.

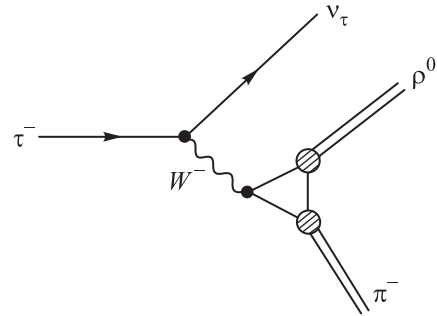


Рис. 1. Контактная диаграмма распада $\tau \rightarrow \rho^0(770)\pi^{-}\nu_{\tau}$

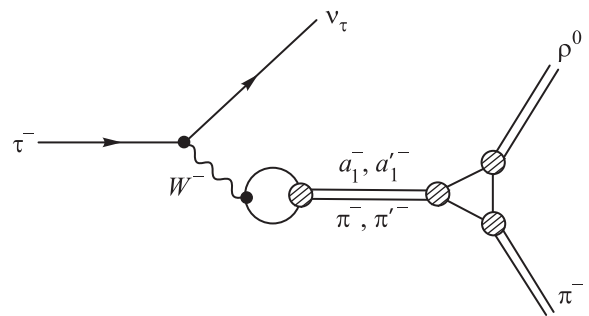


Рис. 2. Распад $\tau \rightarrow \rho^0(770)\pi^{-}\nu_{\tau}$ с промежуточными мезонами

Амплитуда этого процесса принимает вид:

$$\begin{aligned} \mathcal{M} &= -i f_{\pi} G_F V_{ud} g_{\rho} Z_{\pi} l_{\mu} \{ \mathcal{M}_c + \mathcal{M}_{AV} + \\ &+ \mathcal{M}_{AV'} + \mathcal{M}_{PS} + \mathcal{M}_{PS'} \}^{\mu\nu} e_{\nu}(p_{\rho}), \end{aligned} \quad (11)$$

где G_F – константа Ферми; V_{ud} – элемент матрицы Кабиббо–Кобаяши–Маскава; l_μ – лептонный ток; $e_\nu(p_\rho)$ – поляризационный вектор мезона $\rho(770)$; \mathcal{M}_c , \mathcal{M}_{AV} и \mathcal{M}_{PS} – вклады в амплитуду от контактной диаграммы и от диаграмм с промежуточными аксиально-векторными и псевдоскалярными мезонами:

$$\begin{aligned} \mathcal{M}_c^{\mu\nu} = & C_\rho g^{\mu\nu} + \frac{2}{3} g_\rho \left[(I_3^\rho - m^2 I_4^\rho) q^\mu q^\nu + m^2 I_4^\rho p_\rho^\mu p_\rho^\nu + \right. \\ & \left. + m^2 I_4^\rho (p_\pi^2 + p_\rho^2 - (p_\pi, p_\rho)) g^{\mu\nu} \right] - \\ & - \frac{2}{3} \frac{C_{a_1} I_2^{\rho a_1}}{M_{a_1}^2} \{ (q^2 - M_\rho^2) g^{\mu\nu} - q^\mu q^\nu \}, \end{aligned}$$

$$\begin{aligned} \mathcal{M}_{AV}^{\mu\nu} = & \frac{2}{3} C_{a_1} B W_{a_1} \left[(q^2 - 6m^2) g^{\mu\lambda} - \frac{q^\mu q^\lambda}{Z_\pi} \right] \times \\ & \times \left\{ I_2^{a_1 \rho} g_{\lambda\delta} + (I_3^{a_1 \rho} - m^2 I_4^{a_1 \rho}) q_\lambda q_\delta + m^2 I_4^{a_1 \rho} p_{\rho\lambda} p_{\pi\delta} + \right. \\ & \left. + m^2 I_4^{a_1 \rho} (p_\pi^2 + p_\rho^2 - (p_\pi, p_\rho)) g_{\lambda\delta} - \right. \\ & \left. - \frac{C_{a_1} I_2^{a_1 \rho a_1}}{g_\rho M_{a_1}^2} [(q^2 - M_\rho^2) g_{\lambda\delta} - q_\lambda q_\delta] \right\} g^{\delta\nu} + \\ & + 4m^2 Z_\pi C_{a_1} \frac{1}{M_{a_1}^2} \frac{M_{a_1}^2 - q^2}{M_\pi^2 - q^2} \times \\ & \times B W_{a_1} \left[I_2^{a_1 \rho} + \frac{C_{a_1} I_2^{a_1 \rho a_1} M_\rho^2}{g_\rho M_{a_1}^2} \right] q^\mu q^\nu, \end{aligned}$$

$$\begin{aligned} \mathcal{M}_{AV'}^{\mu\nu} = & \frac{2}{3} C'_{a_1} B W_{a'_1} \left[(q^2 - 6m^2) g^{\mu\lambda} - \frac{q^\mu q^\lambda}{Z_\pi} \right] \times \\ & \times \left\{ I_2^{a'_1 \rho} g_{\lambda\delta} + (I_3^{a'_1 \rho} - m^2 I_4^{a'_1 \rho}) q_\lambda q_\delta + m^2 I_4^{a'_1 \rho} p_{\rho\lambda} p_{\pi\delta} + \right. \\ & \left. + m^2 I_4^{a'_1 \rho} (p_\pi^2 + p_\rho^2 - (p_\pi, p_\rho)) g_{\lambda\delta} - \right. \\ & \left. - \frac{C_{a_1} I_2^{a'_1 \rho a_1}}{g_\rho M_{a_1}^2} [(q^2 - M_\rho^2) g_{\lambda\delta} - q_\lambda q_\delta] \right\} g^{\delta\nu}, \end{aligned}$$

$$\begin{aligned} \mathcal{M}_{PS}^{\mu\nu} = & -2Z_\pi C_\rho \times \\ & \times \left[1 - 4I_2^{\rho a_1} \frac{m^2}{M_{a_1}^2} \right] \left[1 - 6 \frac{m^2 C_{a_1}^2}{M_{a_1}^2} \right] B W_\pi q^\mu p_\pi^\nu, \\ \mathcal{M}_{PS'}^{\mu\nu} = & -8 \frac{g_\pi}{g_\rho} C'_\pi I_2^{\rho \pi'} \times \\ & \times \left[1 - 6 \frac{I_2^{\rho a_1 \pi'} C_{a_1}}{I_2^{\rho \pi'} g_\rho} \frac{m^2}{M_{a_1}^2} \right] B W_{\pi'} q^\mu p_{\pi'}^\nu, \end{aligned} \quad (12)$$

где множители C_M имеют вид:

$$\begin{aligned} C_M = & \frac{1}{\sin(2\theta_M^0)} \times \\ & \times [\sin(\theta_M + \theta_M^0) + R_M \sin(\theta_M - \theta_M^0)], \\ C'_M = & \frac{-1}{\sin(2\theta_M^0)} \times \\ & \times [\cos(\theta_M + \theta_M^0) + R_M \cos(\theta_M - \theta_M^0)]. \end{aligned} \quad (13)$$

Величины R_M определены в (5).

Пропагаторы Брейта–Вигнера:

$$B W_M = \frac{1}{M_M^2 - q^2 - i\sqrt{q^2} \Gamma_M}. \quad (14)$$

Интегралы, возникшие при описании кварковых петель:

$$\begin{aligned} I_{nm}^{M_1 M_2 \dots M'_1 M'_2 \dots} = & -i \frac{N_c}{(2\pi)^4} \times \\ & \times \int \frac{A_{M_1} A_{M_2} \dots B_{M_1} B_{M_2} \dots \theta(\Lambda_3^2 - \mathbf{k}^2) d^4 k}{(m_u^2 - k^2)^n (m_s^2 - k^2)^m}, \end{aligned} \quad (15)$$

где величины A_M и B_M определены в (2).

В приведенной амплитуде учтены π - a_1 -переходы в аксиально-векторном и псевдоскалярном каналах.

4. Численные оценки. Полная парциальная ширина распада $\tau \rightarrow \rho^0(770)\pi^- \nu_\tau$, вычисленная в расширенной модели НИЛ, для случая $M_{a_1(1260)} = 1299$ МэВ, $\Gamma_{a_1(1260)} = 380$ МэВ [1]

$$Br(\tau \rightarrow \rho^0(770)\pi^- \nu_\tau) = 5.65\%. \quad (16)$$

Аксиально-векторный канал, содержащий основное состояние мезона $a_1(1260)$, совместно с контактным вкладом дает

$$Br(\tau \rightarrow \rho^0(770)\pi^- \nu_\tau)_{AV} = 4.54\%. \quad (17)$$

Для аксиально-векторного канала совместно с контактным и псевдоскалярным каналами без возбужденных состояний

$$Br(\tau \rightarrow \rho^0(770)\pi^- \nu_\tau)_{AV+PS} = 5.75\%. \quad (18)$$

Для процесса $\tau \rightarrow \rho^0(1450)\pi^- \nu_\tau$ амплитуды будут иметь аналогичную структуру с заменой соответствующих коэффициентов из лагранжиана. Парциальная ширина для такого процесса

$$Br(\tau \rightarrow \rho^0(1450)\pi^- \nu_\tau) = 1.64 \cdot 10^{-4}. \quad (19)$$

В случае, если $M_{a_1(1260)} = 1209$ МэВ, $\Gamma_{a_1(1260)} = 576$ МэВ [2], полная парциальная ширина распада $\tau \rightarrow \rho^0(770)\pi^- \nu_\tau$

$$Br(\tau \rightarrow \rho^0(770)\pi^- \nu_\tau) = 4.94\%. \quad (20)$$

Аксиально-векторный и контактный вклады для этого случая дают

$$Br(\tau \rightarrow \rho^0(770)\pi^-\nu_\tau)_{AV} = 3.84\%. \quad (21)$$

Для аксиально-векторного, контактного и псевдоскалярного вкладов для этого случая без возбужденных состояний

$$Br(\tau \rightarrow \rho^0(770)\pi^-\nu_\tau)_{AV+PS} = 5.09\%. \quad (22)$$

Парциальная ширина процесса $\tau \rightarrow \rho^0(1450)\pi^-\nu_\tau$ для этого случая

$$Br(\tau \rightarrow \rho^0(1450)\pi^-\nu_\tau) = 1.43 \cdot 10^{-4}. \quad (23)$$

Как видно из приведенных выше результатов, для процесса $\tau \rightarrow \rho^0(770)\pi^-\nu_\tau$ аксиально-векторный канал совместно с контактной диаграммой дают основной вклад. При этом учет радиально-возбужденных промежуточных состояний лишь незначительно меняет результат. Как следствие, и процесс $\tau \rightarrow \rho^0(1450)\pi^-\nu_\tau$ также оказывается значительно подавленным по сравнению с процессом $\tau \rightarrow \rho^0(770)\pi^-\nu_\tau$.

5. Заключение. Похожее описание распада $\tau \rightarrow \rho^0(770)\pi^-\nu_\tau$ было сделано с участием одного из авторов этой работы в 1989 г. [10]. Однако там расчеты проводились в стандартной модели НИЛ [11–15], где рассматривалось только основное состояние промежуточного мезона a_1 с параметрами $M_{a_1(1260)} = 1200$ МэВ, $\Gamma_{a_1(1260)} = 420$ МэВ. Радиально-возбужденные промежуточные мезоны были учтены только в псевдоскалярном канале с использованием феноменологической модели, приведенной в работе [16]. В результате было получено следующее значение для парциальной ширины распада $Br(\tau \rightarrow \rho^0(770)\pi^-\nu_\tau) = 5.21\%$. При этом оценка вклада от $\pi(1300)$ была завышена по сравнению с той оценкой, которая получается в расширенной модели НИЛ. Кроме того, использование расширенной модели НИЛ позволило нам учесть вклады от радиально-возбужденного состояния $a_1(1640)$, а также рассмотреть распад $\tau \rightarrow \rho^0(1450)\pi^-\nu_\tau$.

Поскольку в настоящее время не существует удовлетворительных численных оценок для ширины распада $\tau \rightarrow \rho^0(770)\pi^-\nu_\tau$, мы могли бы сравнить наши результаты с близким процессом распада $\tau \rightarrow \pi^-\pi^-\pi^+\nu_\tau$. Для парциальной ширины этого процесса в PDG (Particle Data Group) указано значение $Br(\tau \rightarrow \pi^-\pi^-\pi^+\nu_\tau) = 9.31 \pm 0.05\%$ [17]. Так как про-

цесс $\tau \rightarrow \pi^-\pi^-\pi^+\nu_\tau$, помимо основного канала, связанного с промежуточным ρ -мезоном содержит также и другие каналы (например, канал с промежуточными f_0 -мезоном и канал с промежуточной бокс-диаграммой), есть основания полагать, что рассматриваемый в настоящей работе процесс должен иметь ширину распада меньшую, чем $\tau \rightarrow \pi^-\pi^-\pi^+\nu_\tau$.

Качественные оценки для ширины распада $\tau \rightarrow \rho^0(770)\pi^-\nu_\tau$ были получены также и другими авторами с использованием других феноменологических моделей [18, 19]. В указанных работах его парциальная ширина близка к ширине распада $\tau \rightarrow \pi^-\pi^-\pi^+\nu_\tau$. Однако в этих моделях оценки не всегда находятся в удовлетворительном согласии с экспериментальными данными (например, оценка ширины распада $\tau \rightarrow \rho^0(770)K^-\nu_\tau$).

Авторы выражают благодарность А.Б. Арбузову и А.А. Осипову за полезные обсуждения.

Работа была поддержана Грантом молодых ученых и специалистов Объединенного института ядерных исследований # 19-302-06.

1. M. Aghasyan et al. (COMPASS Collaboration), Phys. Rev. D **98**(9), 092003 (2018).
2. M. Mikhasenko et al. (JPAC Collaboration), arXiv:1810.00016 [hep-ph].
3. M. K. Volkov and C. Weiss, Phys. Rev. D **56**, 221 (1997).
4. M. K. Volkov, Phys. Atom. Nucl. **60**, 1920 (1997).
5. M. K. Volkov, D. Ebert, and M. Nagy, Int. J. Mod. Phys. A **13**, 5443 (1998).
6. M. K. Volkov and V. L. Yudin, Phys. Part. Nucl. **31**, 282 (2000).
7. M. K. Volkov and A. E. Radzhabov, Phys. Usp. **49**, 551 (2006).
8. M. K. Volkov and A. B. Arbuzov, Phys. Usp. **60**(7), 643 (2017).
9. A. V. Vishneva and M. K. Volkov, Int. J. Mod. Phys. A **29**(24), 1450125 (2014).
10. M. K. Volkov, Y. P. Ivanov, and A. A. Osipov, Preprint P2-89-419, JINR, Dubna (1989).
11. M. K. Volkov and D. Ebert, Yad. Fiz. **36**, 1265 (1982).
12. D. Ebert and M. K. Volkov, Z. Phys. C **16**, 205 (1983).
13. M. K. Volkov, Annals Phys. **157**, 282 (1984).
14. M. K. Volkov, Sov. J. Part. Nucl. **17**, 186 (1986).
15. D. Ebert and H. Reinhardt, Nucl. Phys. B **271**, 188 (1986).
16. A. B. Govorkov, Z. Phys. C **32**, 405 (1986).
17. M. Tanabashi et al. (Particle Data Group), Phys. Rev. D **98**, 030001 (2018).
18. Z. H. Guo, Phys. Rev. D **78**, 033004 (2008).
19. L. R. Dai, R. Pavao, S. Sakai, and E. Oset, arXiv:1805.04573 [hep-ph].